

Sedimentfolge zwischen Bornaer Hauptflöz (Flöz II) und Böhlerner Oberflöz (Flöz IV) (Tagebau Espenhain)

Intercalation sediment sequence between Borna and Böhlen seam layers

(opencast mine Espenhain)

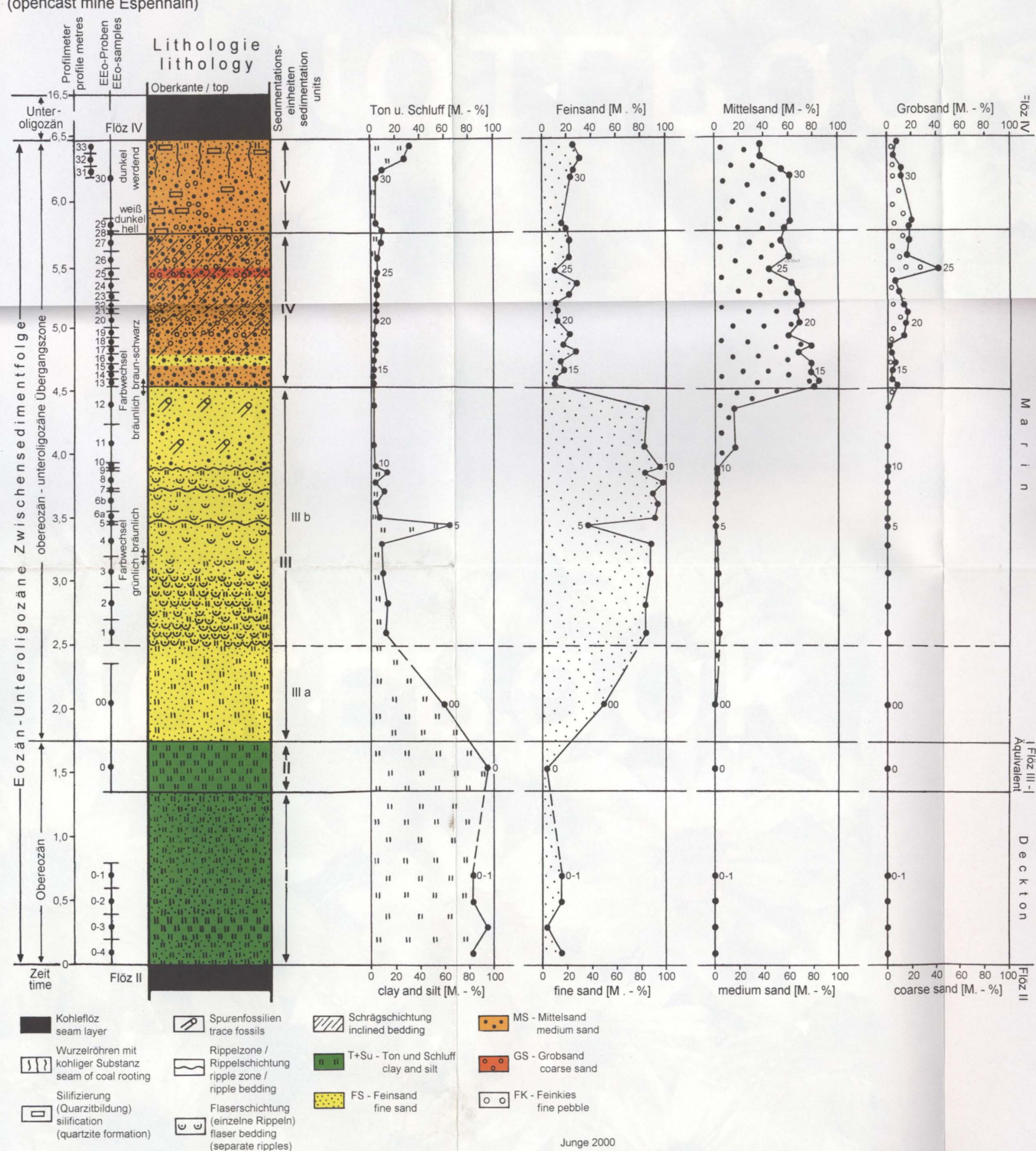


Abb. 3. Lithologischer Aufbau, Korngrößenzusammensetzung und sedimentologisch-geochemische Einheiten des obereozän-unteroligozänen Zwischenmittels im Profil EspEEO.

Sedimentfolge zwischen Bornaer Hauptfötz (Flöz II) und Böhler Oberfötz (Flöz IV) (Tagebau Espenhain)

Intercalation sediment sequence between Borna and Böhlen seam layers
 (opencast mine Espenhain)

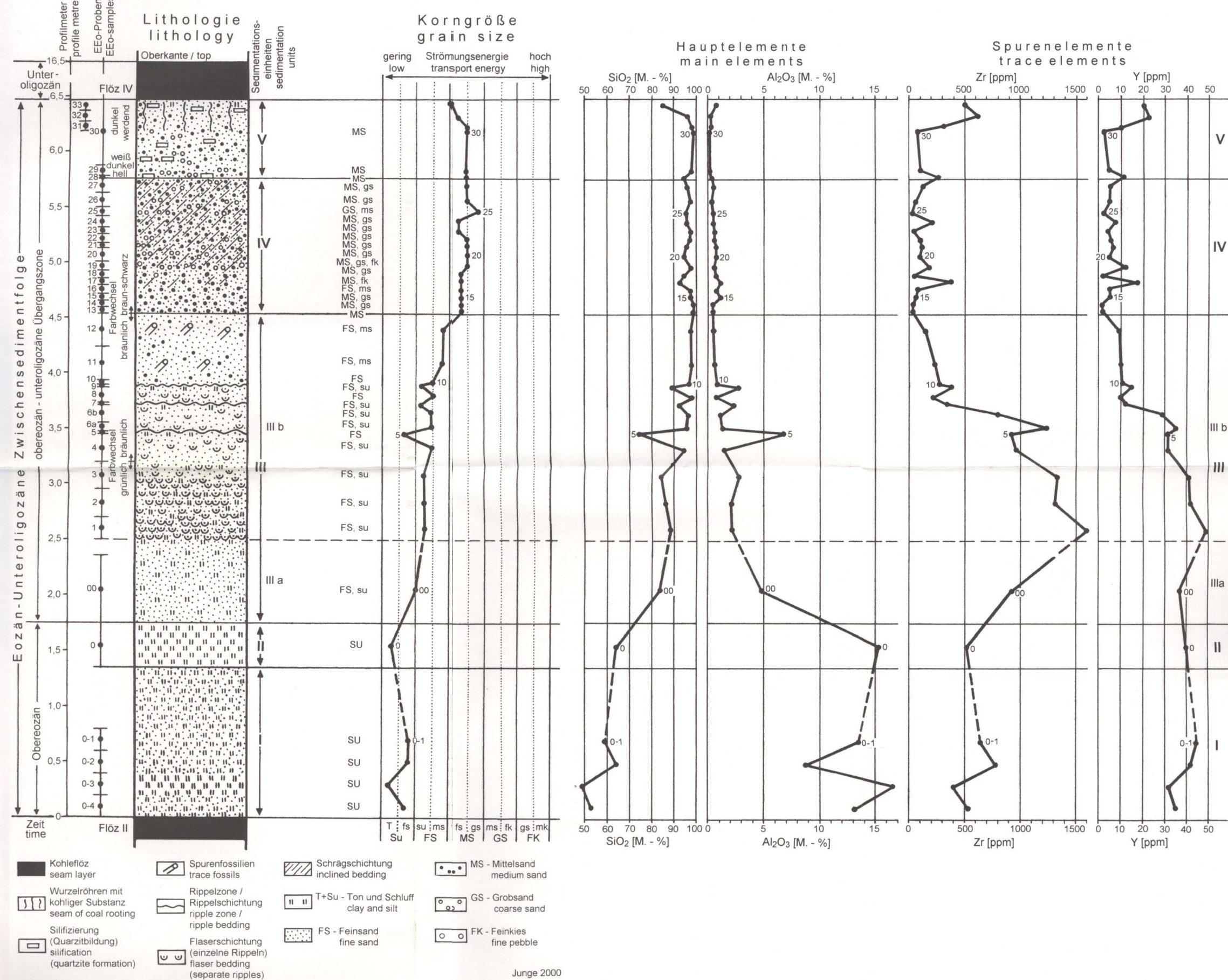


Abb. 4. Verteilung der Hauptelemente SiO₂, Al₂O₃ und der Spurenelemente Zr, Y in der obereozän-unteroligozänen Sedimentfolge des Profils EspEEO.

Die erste Kolumne kennzeichnet die lithologischen Merkmale, die zweite Kolumne die Hauptkorngrößenfraktion. Der SiO₂-Gehalt widerspiegelt den im wesentlichen an die Grobkornfraktionen gebundenen Quarzanteil. Der Al₂O₃-Gehalt reflektiert den an die Feinstkornfraktionen gebundenen Tonmineeralanteil und die Spurenelemente Zr und Y sind Anzeiger für erhöhte Schwermineralanreicherungen im Sediment.

Sedimentfolge zwischen Bornaer Hauptflöz (Flöz II) und Böhler Oberflöz (Flöz IV) (Tagebau Espenhain)

Intercalation sediment sequence between Borna and Böhlen seam layers
 (opencast mine Espenhain)

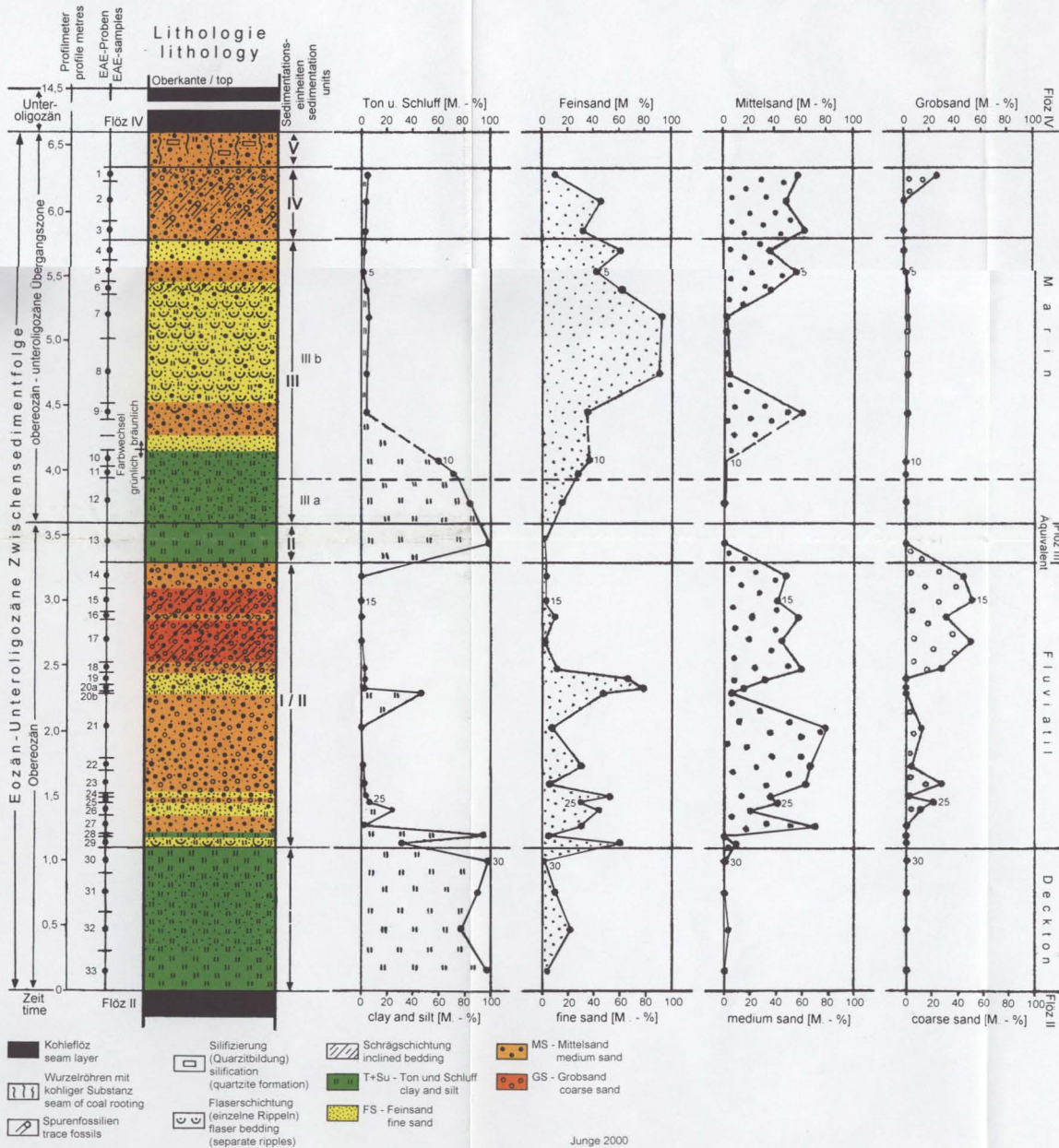


Abb. 5. Lithologischer Aufbau, Korngrößenzusammensetzung und sedimentologisch-geochemische Einheiten des obereozän-unteroligozänen Zwischenmittels im Profil EspEEA.

Sedimentfolge zwischen Bornaer Hauptflöz (Flöz II) und Böhlerner Oberflöz (Flöz IV) (Tagebau Espenhain)

Intercalation sediment sequence between Borna and Böhlen seam layers
 (opencast mine Espenhain)

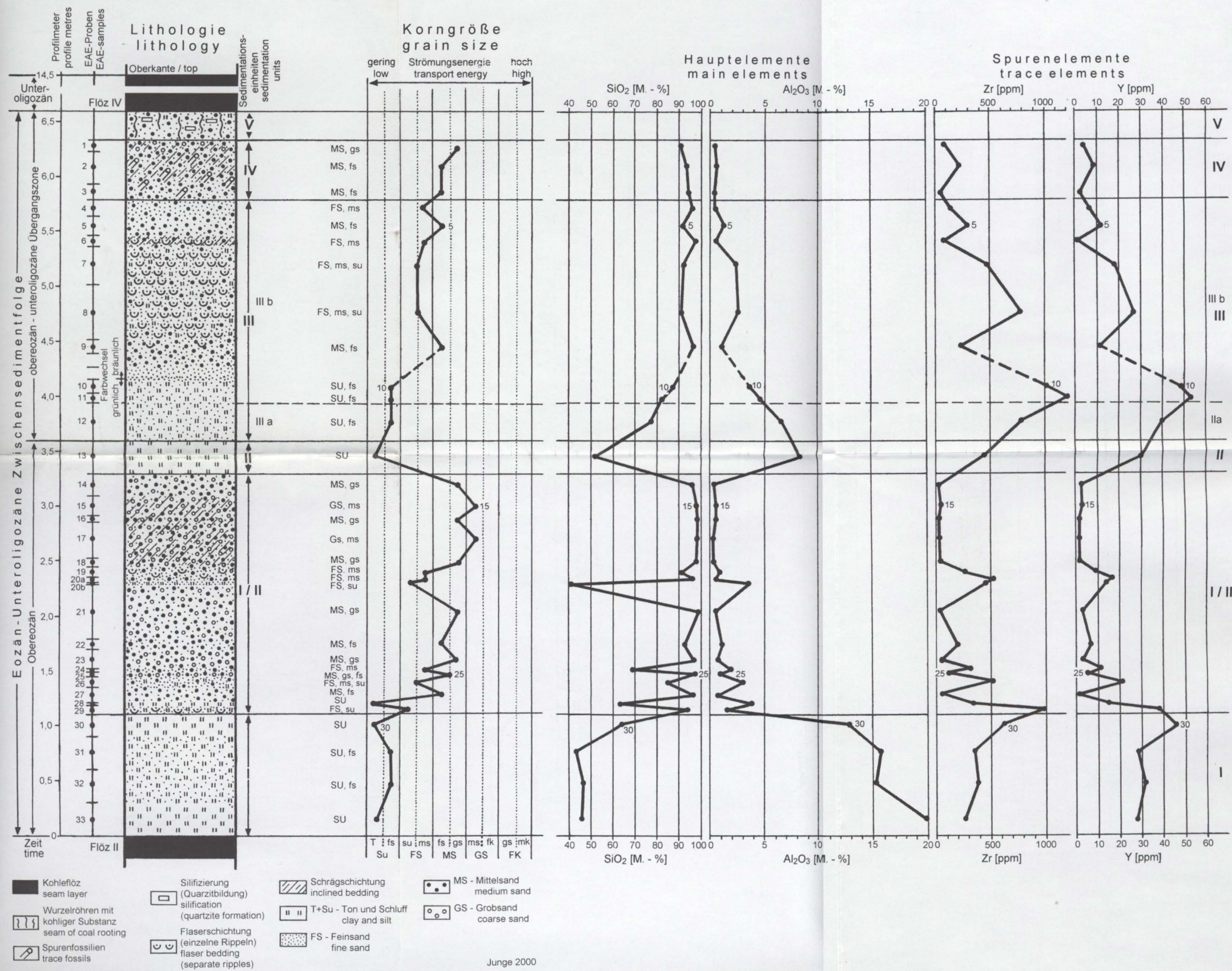


Abb. 6. Verteilung der Hauptelemente SiO_2 , Al_2O_3 und der Spurenelemente Zr, Y in der obereozän-unteroligozänen Sedimentfolge des Profils EspEAE.

Erläuterungen siehe Abb. 4.